

# КИНЕТИКА РЕАКЦИИ ВЫДЕЛЕНИЯ ВОДОРОДА НА ЖЕЛЕЗЕ И ЕГО ДИФФУЗИЯ ЧЕРЕЗ МЕМБРАНУ ИЗ РАСТВОРОВ $C_2H_4(OH)_2 \cdot H_2O \cdot HCl$ , СОДЕРЖАЩИХ $(NH_2)_2CS$ .

© 2005 В. И. Вигдорович, Л. Е. Цыганкова, О. В. Алексина

Тамбовский государственный университет им. Г. Р. Державина

*Поступила в редакцию 22.03.05*

Параллельно изучено влияние тиомочевины (0,5-10 мМ) на кинетику РВВ на железе и его диффузию через стальную мембрану из этиленгликоловых (содержащих 2 и 10 мас.%  $H_2O$ ) и водных растворов  $HCl$  (0,10-0,99 моль/л) с постоянной ионной силой, равной 1. Наличие в растворах 0,5 мМ  $(NH_2)_2CS$  повышает перенапряжение водорода, последующий рост ее концентрации не влияет на кинетику РВВ. Зависимость потока диффузии водорода через мембрану от содержания тиомочевины проходит через максимум.

## ВВЕДЕНИЕ

Ранее [1] изучено влияние  $(NH_2)_2CS$  на кинетику реакции выделения водорода (РВВ) на железе и диффузию водорода через стальную мембрану при потенциале коррозии ее входной стороны из условно-безводных этиленгликоловых ( $C_{H_2O}^{uscx} \leq 0,15$  мас.%) растворов с составом фонового электролита  $xM\ HCl + (1-x)\ M\ LiCl$ . Показано, что тиомочевина (ТМ) снижает перенапряжение водорода ( $d\eta/d\lg C_{TM} < 0$ ). Замедленной в присутствии (1-10)мМ  $(NH_2)_2CS$  является стадия разряда, т.е.  $\Theta_H$  не превышает 0,1. В 10<sup>-3</sup> М растворах  $HCl$  поток диффузии водорода через стальную мембрану  $i_H$  возрастает в присутствии 1 мМ тиомочевины. Последующее увеличение ее концентрации не изменяет  $i_H$ . В 0,05 М растворах хлористого водорода картина существенно усложняется, в том числе появляется и влияние продолжительности эксперимента. Поток диффузии водорода через мембрану  $i_H$  возрастает с повышением  $C_{TM}$  (двухчасовые опыты), либо зависимость  $i_H = f(C_{TM})$  проходит через максимум ( $C_{TM}^{max} = 1 - 3$  мМ) с увеличением длительности экспериментов вдвое и четверо.

Согласно [2], в чисто водных средах  $(NH_2)_2CS$  в концентрации 0,03-5,0 мМ замедляет на углеродистой стали катодную и анодную реакции: первую – при низких, вторую

– при более высоких  $C_{TM}$ . Одновременно добавки  $(NH_2)_2CS$  затормаживают диффузию водорода через стальную мембрану [3].

Исследования, проведенные с использованием систем  $C_2H_4(OH)_2 \cdot H_2O \cdot HCl$  [4] и  $C_2H_5OH \cdot H_2O \cdot HCl$  [5], показали, что рост содержания воды в растворителе от 0,1 до 2 и 10 мас.% изменяет его физико-химические характеристики, форму существования сольватированных протонов ( $ROH^+ \rightarrow H_3O^+$ , где  $ROH$  – молекула спирта), кинетику, а в ряде случаев и механизм РВВ.

В связи с изложенным, важно было выяснить, насколько общими являются наблюдаемые закономерности. В частности, каково влияние состава смешанного растворителя системы  $C_2H_4(OH)_2 \cdot H_2O$  на рассматриваемые процессы в отсутствие и присутствии тиомочевины, способной изменять кинетику РВВ и закономерности диффузии водорода через мембрану.

С этой целью в настоящей работе использованы растворы  $C_2H_4(OH)_2 \cdot H_2O \cdot HCl$  с исходной концентрацией воды – 2, 10 и 100% и постоянной ионной силой, равной 1. Фоновая соль –  $LiCl$ , хорошо растворимая в изученных условиях и содержащая поверхностью – неактивный катион. Состав электролита позволял поддерживать постоянную концентрацию поверхности-активного на

# КИНЕТИКА РЕАКЦИИ ВЫДЕЛЕНИЯ ВОДОРОДА НА ЖЕЛЕЗЕ И ЕГО ДИФФУЗИЯ ЧЕРЕЗ МЕМБРАНУ ИЗ РАСТВОРОВ $C_2H_4(OH)_2 \cdot H_2O \cdot HCl$ , СОДЕРЖАЩИХ $(NH_2)_2CS$ .

железе хлорид-иона и, тем самым, более надежно оценивать влияние  $C_{H_{sol}^+}$ .

## МЕТОДИКА ЭКСПЕРИМЕНТА

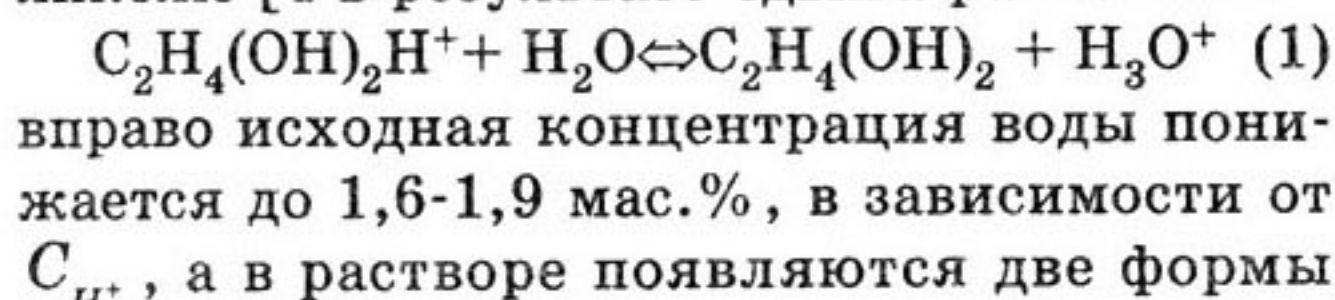
Использованы растворы состава  $x M HCl + (1-x) M LiCl$ , полученные насыщением растворителей сухим хлористым водородом с последующей оценкой  $C_{H_{sol}^+}$  титрованием щелочью и введением сухого хлористого лития до постоянства ионной силы. Кинетика PVB ( $C_{HCl} = 0,01 - 0,99 M$ ) исследована на железе армко при комнатной температуре с использованием потенциостата П5827м в двух экспериментальных сериях (измерения относительно водного насыщенного хлоридсеребряного и равновесного водородного электрода в том же растворе, водородная атмосфера). Получены кинетические параметры PVB при постоянных потенциале ( $E$ ) и перенапряжении ( $h$ ). Обратимость водородного электрода (свежеплатинированная платина) подтверждена выполнимостью уравнения Нернста. Наличие равновесия контролировали в течение всего эксперимента. Рабочий электрод, армированный в оправку из эпоксидной смолы (отвердитель – полиэтиленполиамин), предварительно защищали наждачной бумагой различных номеров, обезжиривали ацетоном и сушили. Измерения выполнялись в ячейке с разделенными шлифом анодным и катодным пространствами. Вспомогательный электрод – гладкая платина.

Диффузию водорода через стальную (Ст3) вертикальную мембрану площадью  $3,63 \text{ см}^2$  и толщиной 300 мкм изучали по методике [6] в полном соответствии с [7] в двухкамерной ячейке типа Деванатхана, выполненной из стекла "Пирекс". В фоновые растворы вводили тиомочевину квалификации "х.ч." в концентрации 0,5 – 10,0 мМ.

## ЭКСПЕРИМЕНТАЛЬНЫЕ РЕЗУЛЬТАТЫ

### Кинетика PVB на железе

**Растворы с 2 мас.% воды.** Особенностью этих систем является то, что за счет основных свойств воды по отношению к этиленгликолю [4] в результате сдвига равновесия



сольватированного протона –  $H_3O^+$  (60-65%) и  $C_2H_4(OH)_2H^+$  (остальное) [4]. Физико-химические параметры системы рассмотрены в [4, 5]. Там же приведена предложенная одним из авторов методика расчета концентрации ионов водорода в различной сольватной форме в подобных растворах.

Поверхность железа в рассматриваемых средах сольватирована преимущественно молекулами спирта, т.к. полная пересольватация, согласно [8], с заменой спирта водой наблюдается лишь в средах, содержащих 50 и более мас.%  $H_2O$ .

В присутствии 1мM тиомочевины наблюдаются следующие кинетические закономерности PVB (рис. 1а):

- имеет место экспоненциальная зависимость плотности катодного тока ( $i_K$ ) от потенциала электрода;
- скорость процесса при  $E = \text{const}$  возрастает с увеличением  $C_{H^+}$ , а значение  $d\lg i_K / d\lg C_{H^+}$  близко к 1;
- величина  $dE / d\lg C_{H^+}$  заметно ниже  $2,3RT / aF$  (таблица) при  $\alpha = 0,5$ .

Особенностью исследуемых растворов является пониженная величина  $dE / d\lg i_K$  (рис. 1а, таблица).

Пятикратное увеличение концентрации тиомочевины качественно не изменяет картины (рис. 1б и таблица). Несколько возрастает величина  $dE / d\lg i_K$  и снижается  $d\lg i_K / d\lg C_{H^+}$ , значение  $dE / d\lg C_{H^+}$  остается неизменным ( $0,070 \pm 0,004$  В).

Последующее увеличение  $C_{TM}$  вдвое также практически не влияет на кинетические параметры PVB в изученном интервале концентрации  $C_{H^+}$  (0,10-0,99 моль/л, рис. 1в.). Общая сводка кинетических параметров PVB приведена в таблице.

Введение 0,5 мМ  $(NH_2)_2CS$  в 0,9М раствор  $HCl$  повышает перенапряжение водорода на 0,03 - 0,04 В. Однако с последующим ростом  $C_{TM}$  до 10мM величина  $\eta$  остается неизменной (рис. 2).

**Растворы с 10 мас.%  $H_2O$ .** В этих средах протон практически полностью существует в форме ионов гидроксония, а поверхность стали находится в условиях смешанной сольватации молекулами обоих компонентов смешанного растворителя. Можно лишь предпо-

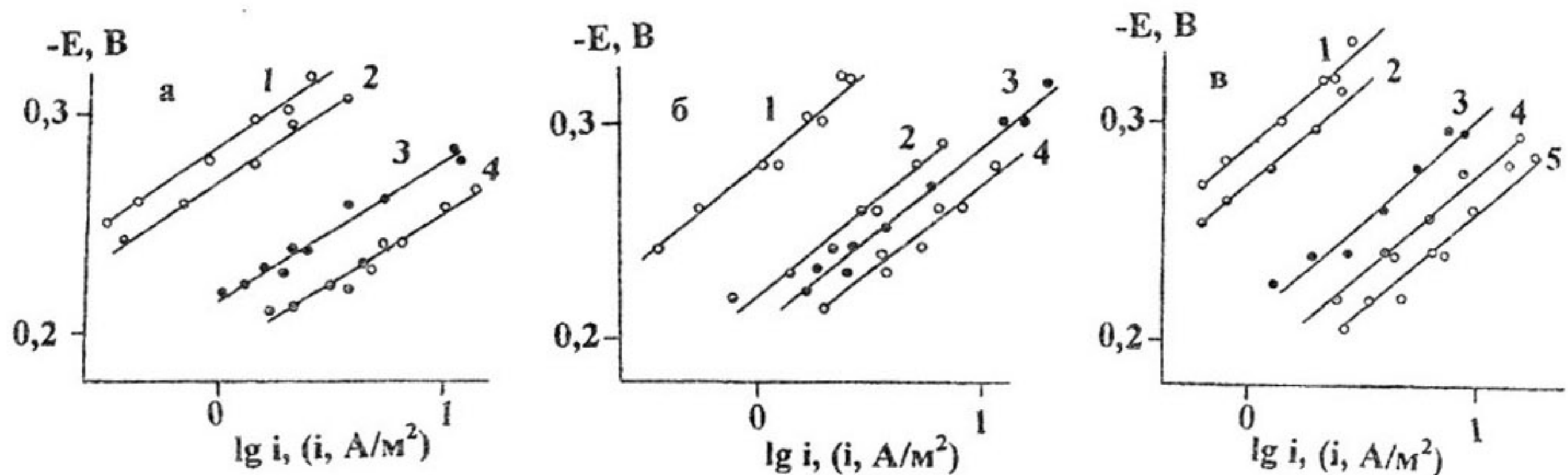


Рис. 1. Поляризационные кривые железа в этиленгликолевых растворах с составом электролита  $x$  М HCl +  $(1-x)$  М LiCl и исходной концентрацией  $\text{H}_2\text{O}$ , равной 2 мас.%, содержащих 1 (а), 5 (б) и 10 (в) мМ тиомочевины.  $x$ : 1-0,05; 2-0,1; 3-0,5; 4-0,9. Водородная атмосфера, комнатная температура.

#### Таблица

Кинетические параметры РВВ на железе в растворах системы  $\text{C}_2\text{H}_4(\text{OH})_2 - \text{H}_2\text{O} - \text{HCl}$  с составом электролита  $x$  М HCl +  $(1-x)$  М LiCl в присутствии тиомочевины. Водородная атмосфера, комнатная температура

$C_{\text{H}_2\text{O}}$ , мас.%	$C_{\text{TM}}$ , ммоль/л	$dE/dlg i_k$ , В	$dE/dlg C_{\text{H}^+}$ , В	$(\partial \lg i_k / \partial \lg C_{\text{H}^+})_E$	$d\eta_H/dlg i_k$ , В	$d\eta_H/dlg C_{\text{H}^+}$ , В	$(\partial \lg i_k / \partial \lg C_{\text{H}^+})$
2	0	0,110	0,100	1,0	0,110	0,066	0,50
	0,5	0,100	0,80	0,80	0,100	0,065	0,6
	1	0,070	0,070	1,0	0,070	-	-
	5	0,090	0,065	0,80	0,090	0,020	0,3
	10	0,090	0,100	1,0	0,090	0,60	0,5
10	0	0,105	0,050	0,50	0,100	0,030	0,3
	0,5	0,100	0,085	0,70	0,105	0,055	0,5
	1	0,100	0,080	0,90	0,100	0,035	0,4
	5	0,100	0,080	0,90	0,100	0,035	0,4
	10	0,100	0,080	0,90	0,100	0,050	0,5
100	0	0,105	0,070	0,90	0,100	0,040	0,5
	0,5	0,105	0,110	1,0	0,100	0,030	0,3
	1	0,110	0,100	1,0	0,110	0,040	0,4
	5	0,120	0,095	0,80	0,115	0,050	0,5
	10	0,110	0,095	0,90	0,110	0,080	0,7

# КИНЕТИКА РЕАКЦИИ ВЫДЕЛЕНИЯ ВОДОРОДА НА ЖЕЛЕЗЕ И ЕГО ДИФФУЗИЯ ЧЕРЕЗ МЕМБРАНУ ИЗ РАСТВОРОВ $C_2H_4(OH)_2 \cdot H_2O \cdot HCl$ , СОДЕРЖАЩИХ $(NH_2)_2CS$ .

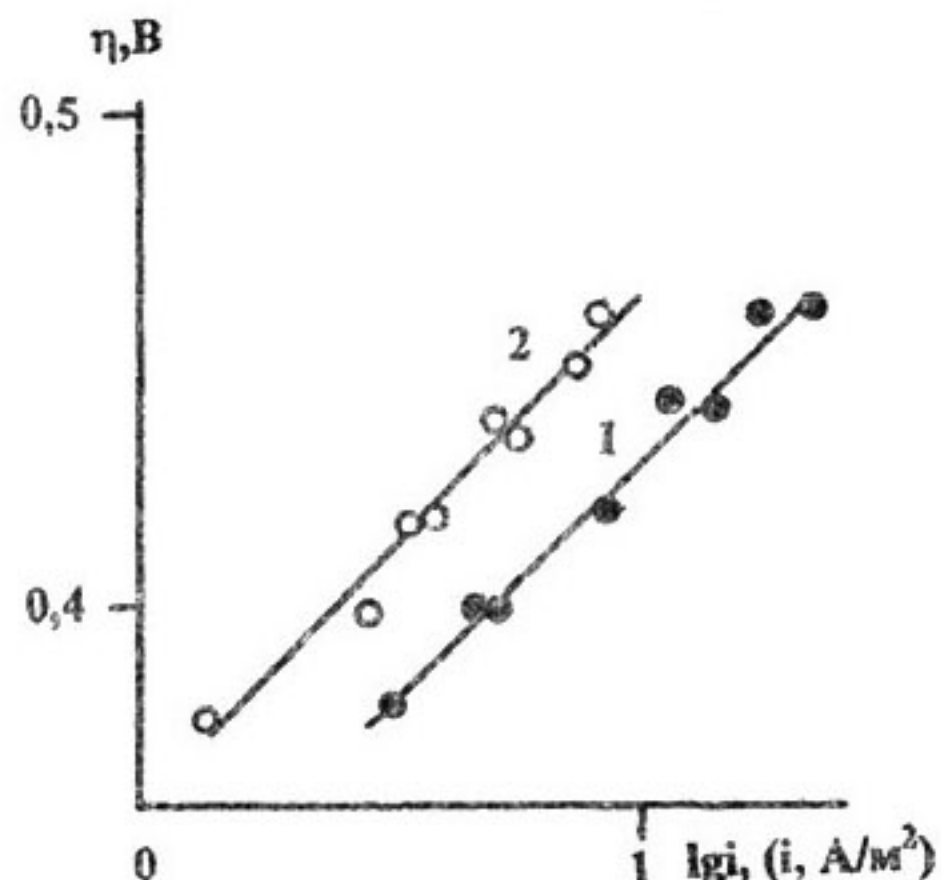


Рис. 2. Влияние тиомочевины на перенапряжение водорода на железе в этиленгликоловых растворах с составом электролита 0,9 М HCl + 0,1 М LiCl и исходным содержанием воды 2 мас.%. Концентрация ТМ, мМ: 1 - отсутствует, 2 - 0,5...10 мМ. Водородная атмосфера, комнатная температура.

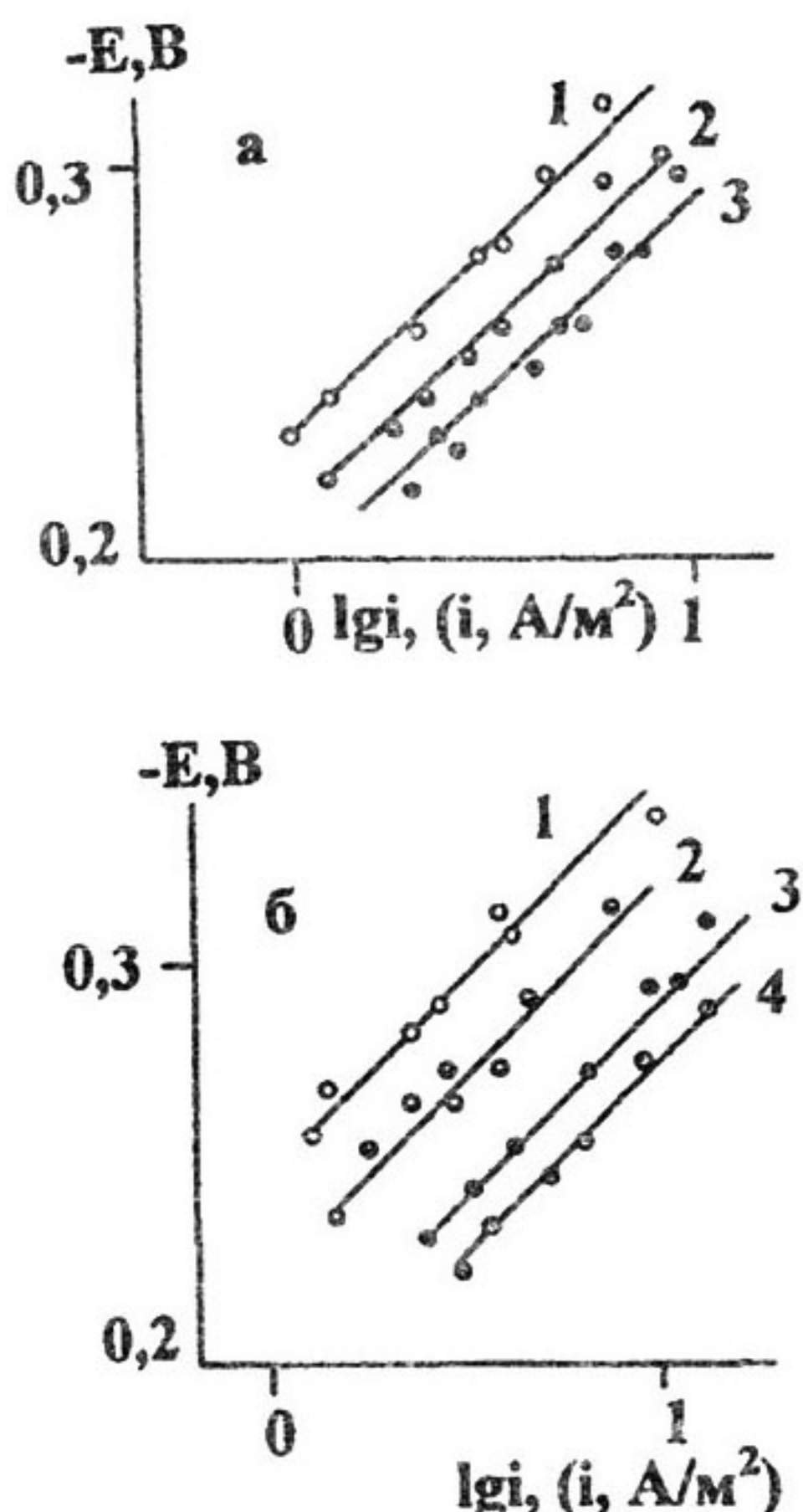
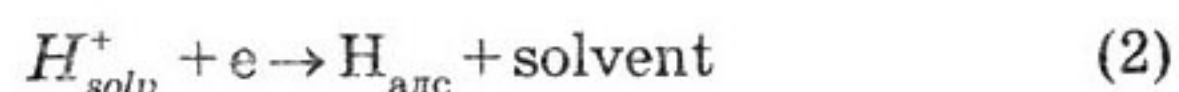


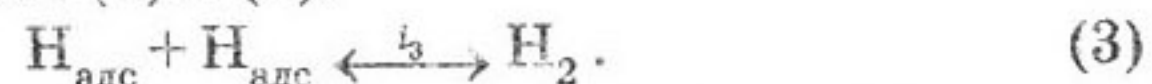
Рис. 3. Поляризационные кривые железа в этиленгликоловых растворах с составом электролита  $x$  М HCl +  $(1-x)$  М LiCl и содержанием 10 мас.% воды в отсутствие (а) и в присутствии 1 мМ тиомочевины (б). Водородная атмосфера, комнатная температура. а.  $x$ : 1 - 0,1; 2 - 0,5...0,9; 3-0,99. б.  $x$ : 1 - 0,1; 2 - 0,5; 3-0,9; 4-0,99.

ложить, что доля поверхности железа, занятая водой (поверхностная сольватация), в этом случае существенно повышена по сравнению со средами, содержащими 2 мас.%  $H_2O$ .

В отсутствие ТМ величины кинетических параметров РВВ близки к требованиям замедленной рекомбинации (рис. 3а, таблица). Ранее подобный вывод был сделан в [7]. Введение 1 мМ  $(NH_2)_2CS$  в растворы HCl с постоянной ионной силой заметно изменяет кинетические параметры РВВ (рис. 3б, таблица). Исходя из их величин, следует полагать, что в присутствии ТМ на значительной части активных центров (АЦ) поверхности РВВ лимитирует реакция Фольмера:



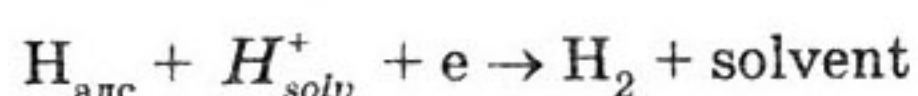
На возможность протекания реакции выделения водорода с замедленным разрядом на одних АЦ и с лимитирующей рекомбинацией – на других указано в [9]. Очевидно, это приводит к изменению эффективных кинетических параметров процесса, которые становятся промежуточными между величинами, характерными для замедленных реакций (2) и (3):



Подобная картина, видимо, и реализуется в присутствии 1 мМ  $(NH_2)_2CS$  (таблица).

Увеличение  $C_{TM}$  до 5 и 10 мМ (рис. 4) не изменяет качественной картины. Кинетические параметры РВВ соответствуют требованиям замедленного разряда. Введение 0,5 мМ  $(NH_2)_2CS$ , как и в средах с 2 мас.%  $H_2O$ , повышает перенапряжение водорода, а последующий рост  $C_{TM}$  до 20 раз его не изменяет (рис. 5).

**Водные растворы.** Их особенностью, прежде всего, является тот факт, что ионы водорода, и поверхность металла сольватированы молекулами воды. В чисто водных средах независимо от отсутствия или наличия в рабочих растворах тиомочевины РВВ на железе протекает с замедленной реакцией (2). В подобных условиях практически невозможно оценить природу стадии РВВ, обуславливающей рекомбинацию  $H_{adc}$  с удалением  $H_2$  в газовую фазу, т.к., помимо (3), сток атомов водорода может протекать посредством электрохимической десорбции:



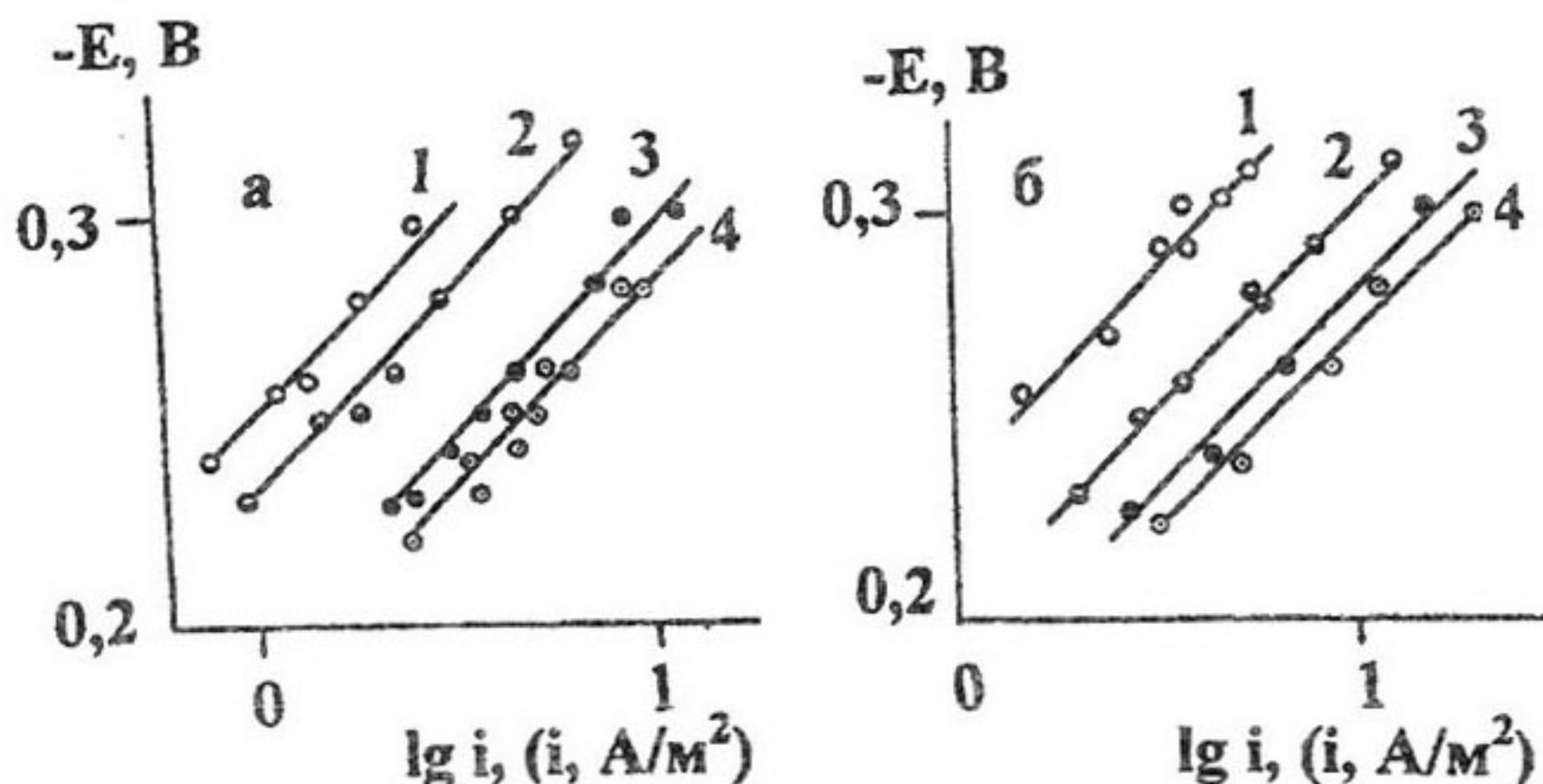


Рис. 4. Поляризационные кривые железа в этиленгликолевых растворах с составом электролита  $x \text{ M HCl} + (1-x) \text{ M LiCl}$  и содержанием 10 мас.% воды.  $C_{\text{TM}}$ : а - 5мМ; б - 10мМ.  $x$ : 1 - 0,2; 2 - 0,5; 3 - 0,9; 4 - 0,99. Водородная атмосфера, комнатная температура.

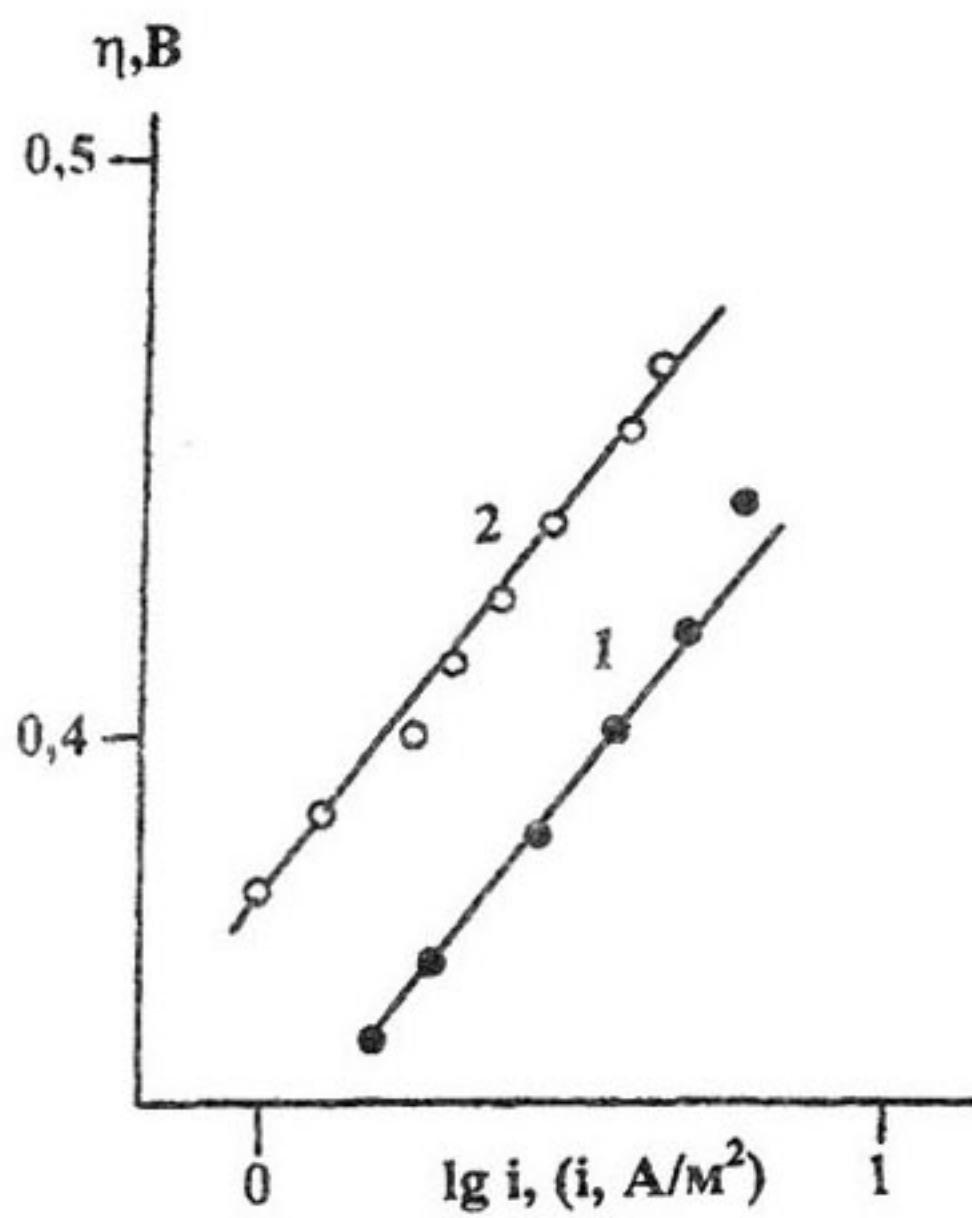


Рис. 5. Влияние тиомочевины на перенапряжение водорода на железе в этиленгликолевых растворах с составом электролита  $0,9 \text{ M HCl} + 0,1 \text{ M LiCl}$  и исходным содержанием воды 10 мас.%. Концентрация ТМ, мМ: 1 - отсутствует, 2 - 0,5...10мМ. Водородная атмосфера, комнатная температура.

Однако, согласно [10-15], на железе в области небольших катодных поляризаций реализуется процесс (3), правда, авторы принимают, что стадии (2) и (3) протекают с соизмеримыми скоростями, доказывая это наличием линейной зависимости между  $i_H$  и  $i_3^{0,5}$ , проходящей через начало координат. На это указывает и тот факт, что в отсутствие ТМ в растворах с 2 и 10 мас.% воды в этиленгликоле замедленной является ста-

дия рекомбинации и лишь с появлением  $(\text{NH}_2)_2\text{CS}$  в растворах HCl наблюдается сравнительно постепенный переход от замедленной реакции (3) к лимитирующей стадии (2).

*Диффузия водорода через стальную мембрану.* Введение 0,5 мМ тиомочевины в этиленгликолевые растворы HCl с 2 мас.% воды (исходная концентрация) повышает поток диффузии водорода через мембрану  $i_H$  (рис. 6). Последующий рост  $C_{\text{TM}}$  приводит к появлению максимума на зависимости  $i_H = f(C_{\text{TM}})$ . Причем качественный вид функции не зависит

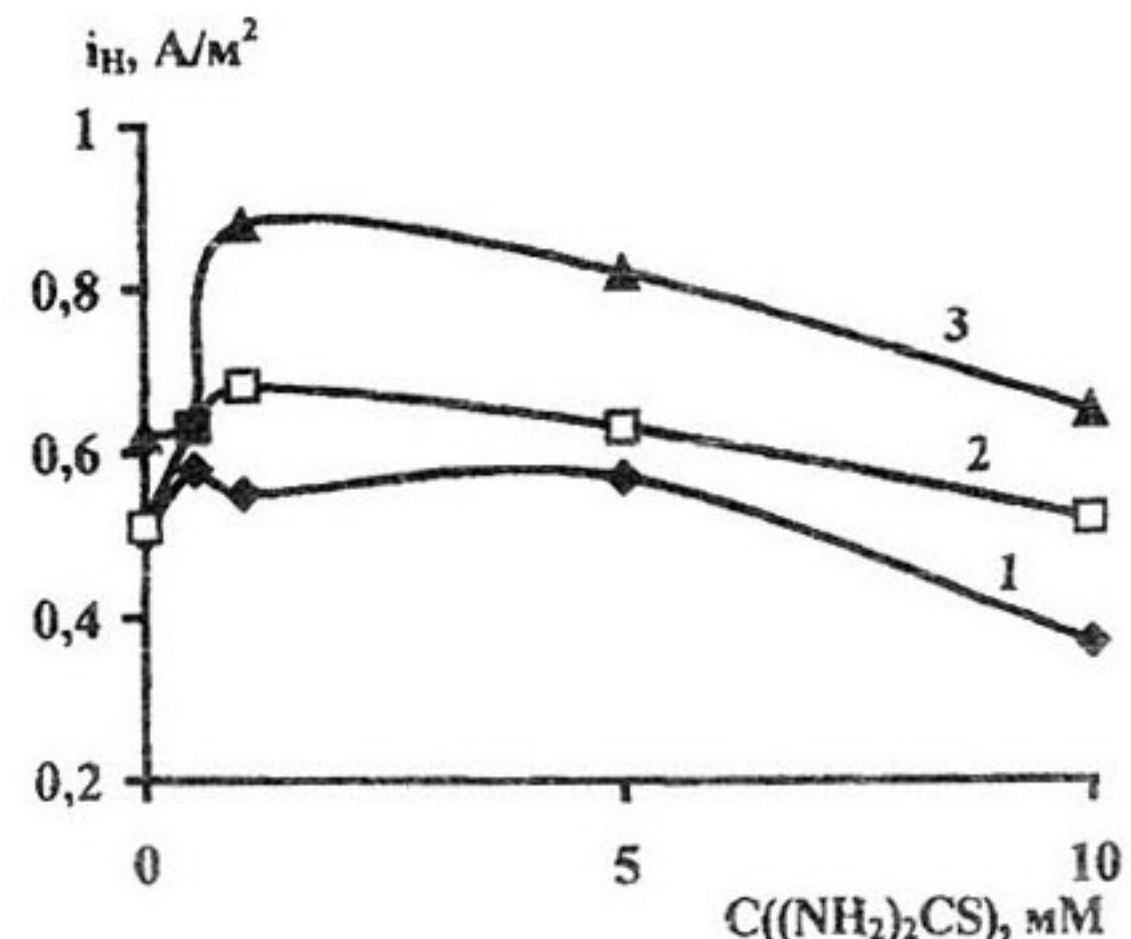


Рис. 6. Влияние тиомочевины и  $C_{H+}$  на поток диффузии водорода через стальную мембрану при потенциале коррозии ее входной стороны из этиленгликолевых растворов с исходным содержанием воды 2 мас.%. Состав электролита  $x \text{ M HCl} + (1-x) \text{ M LiCl}$ .  $x$ : 1 - 0,05; 2 - 0,5; 3 - 0,9. Воздушная атмосфера, комнатная температура. Продолжительность эксперимента - 2ч.

# КИНЕТИКА РЕАКЦИИ ВЫДЕЛЕНИЯ ВОДОРОДА НА ЖЕЛЕЗЕ И ЕГО ДИФФУЗИЯ ЧЕРЕЗ МЕМБРАНУ ИЗ РАСТВОРОВ $C_2H_4(OH)_2$ - $H_2O$ - $HCl$ , СОДЕРЖАЩИХ $(NH_2)_2CS$ .

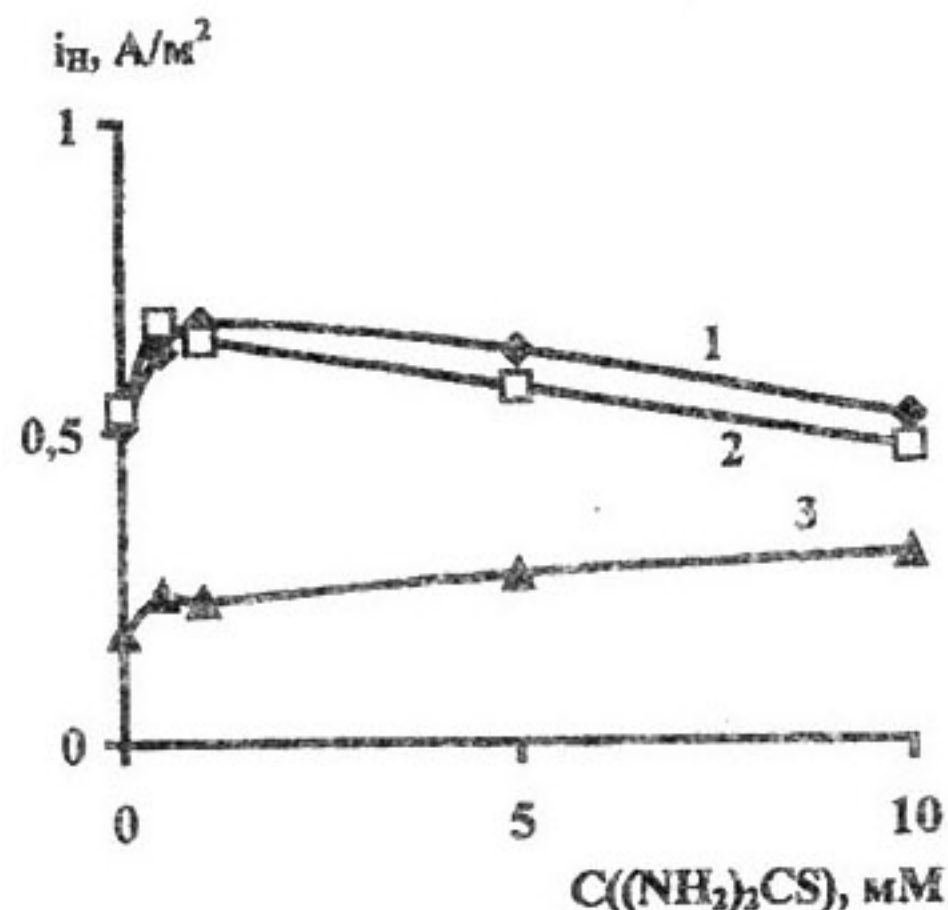


Рис. 7. Влияние концентрации тиомочевины и исходного содержания воды в растворителе на поток диффузии водорода через стальную мембрану из растворов с составом электролита 0,5 М HCl + 0,5 М LiCl. Исходное содержание воды в растворителе, мас.%: 1 - 2; 2 - 10; 3 - 100. Воздушная атмосфера, комнатная температура. Продолжительность эксперимента - 2ч.

от  $C_{H^+}$  в интервале концентрации хлористого водорода (0,10-0,99 моль/л). В присутствии 10 мМ  $(NH_2)_2CS$  величина  $i_H$  приближается к потоку диффузии в соответствующем фоновом растворе (рис. 6). С ростом  $C_{H^+}$  ( $C_{TM} = \text{const}$ )  $i_H$  возрастает, что удовлетворительно коррелирует с величиной  $d\lg i_K/d\lg C_{H^+}$  РВВ (таблица).

Подобная картина, характеризующаяся наличием максимума в координатах  $i_H$ ,  $C_{TM}$ , наблюдается и в этиленгликоловых средах с 10 мас.%  $H_2O$ , и в чисто водных растворах (рис. 7). Причем максимум имеет место в интервале (0,5 - 1,0) мМ ТМ, а величины  $i_H$  в присутствии (2 - 10) мас.%  $H_2O$  в этиленгликоле во всей изученной области концентраций близки ( $C_{TM} = \text{const}$ , рис. 7). Ниспадающий участок зависимости  $i_H = f(C_{TM})$  в богатых этиленгликолем средах продолжается до 10 мМ  $(NH_2)_2CS$ . В водных растворах он быстро сменяется повышением  $i_H$  с возрастанием  $C_{TM}$ , хотя абсолютная величина потока диффузии водорода через мембрану существенно ниже, чем в растворах с (90 - 98) мас.%  $C_2H_4(OH)_2$  (рис. 7, кривые 1 - 3).

## ОБСУЖДЕНИЕ РЕЗУЛЬТАТОВ

Сопоставление кинетических закономерностей РВВ на железе и потока диффузии водорода через стальную мембрану (Ст.3)

показывает, что возрастание  $C_{H^+}$  увеличивает скорости РВВ и  $i_H$ . Однако на этом связь между рассматриваемыми процессами заканчивается. В самом деле:

- введение 0,5 мМ  $(NH_2)_2CS$  повышает перенапряжение водорода и одновременно увеличивает поток диффузии водорода через мембрану, что, на первый взгляд, является взаимоисключающим;

- рост  $C_{TM}$  сверх 0,5 мМ не изменяет кинетики РВВ, но существенно сказывается на величине  $i_H$ ;

- переход в присутствии тиомочевины от богатых этиленгликолем к чисто водным растворам практически не изменяет кинетики РВВ (таблица), однако заметно влияет на величину  $i_H$  ( $C_{TM} = \text{const}$ ).

Можно полагать, что атомы H и молекулы  $(NH_2)_2CS$  способны адсорбироваться на одних и тех же активных центрах (АЦ) в сравнительно широком интервале  $\Delta \Delta H_{adc}$ , что приходится учитывать, т.к. для железа характерна энергетическая неоднородность АЦ. На одних из них, характеризующихся интервалом теплот адсорбции  $\Delta H_{adc,1} - \Delta H_{adc,2}$ , РВВ, видимо, протекает в условиях замедленного разряда, на других (в области  $\Delta H_{adc,2} - \Delta H_{adc,3}$ ) процесс лимитирует стадия рекомбинации. С учетом такого подхода следует полагать, что молекулы  $(NH_2)_2CS$  адсорбируются на вторых АЦ, подавляя на них разряд ионов водорода независимо от их сольватной формы ( $H_3O^+$ ,  $C_2H_4(OH)_2H^+$ ). Тогда РВВ протекает исключительно (или с наибольшим вкладом) с лимитирующей стадией (2), а кинетические параметры процесса отвечают требованиям замедленного разряда.

Подобный подход позволяет объяснить и наблюдавшееся ранее [7] влияние добавок воды в этиленгликоловых растворах HCl на изменение природы лимитирующей стадии. Видимо, молекулы  $C_2H_4(OH)_2$  и  $H_2O$  адсорбируются на единых с адатомами водорода активных центрах. Причем вновь на железе на одних АЦ РВВ протекает с замедленной стадией (2), на других - реакцией (3). Если молекулы растворителя блокируют первые – процесс катодного восстановления ионов водорода протекает с кинетическими параметрами, характерными для замедленной

рекомбинации, если – вторые, то замедленным становится разряд. Когда не блокируются ни те, ни другие АЦ, либо блокируются молекулами растворителя или вводимыми в раствор добавками, приблизительно, в равной мере – кинетические параметры РВВ принимают промежуточные значения.

Для интерпретации экспериментальных фактов, согласно которым  $C_{TM} > 0,5\text{мM}$  на железе не изменяет кинетики РВВ (рис. 2 и 5), но существенно сказывается на потоке диффузии водорода через стальную мембрану, следует учесть следующее.

Водород на металлах, согласно показанному в [16, 17] и позднее иным путем в [18], может адсорбироваться в двух формах – надповерхностной  $H'$  и подповерхностной  $H^s$ . В [7] высказано предположение, что форма  $H'$  ответственна за протекание стадии (3), а  $H^s$  – за реакцию абсорбции водорода металлом (4):



Между этими формами устанавливается сложное равновесие [16, 17]



графический вид изотермы которого, по расчетным данным [16, 17], представлен в [7].

Введение тиомочевины, видимо приводит к тому, что  $\Theta_H^r$  не превышает 0,1, что характерно для замедленного разряда. Одновременно адсорбция  $(\text{NH}_2)_2\text{CS}$ , вероятно, смещает равновесие (5), причем характер влияния тиомочевины зависит от  $\Theta_{TM}$ . Сдвиг его вправо обусловливает рост  $i_H$ , влево – вызывает обратный эффект. Такой подход позволяет непротиворечиво объяснить наблюдаемые экспериментальные факты.

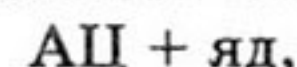
Возможно и иное объяснение наблюдаемых закономерностей, базирующееся на теории активных ансамблей [19-21]. Однако, обычно интерпретируемые этой теорией закономерности относят к адсорбционному докристаллическому состоянию катализаторов, когда атомы, входящие в состав поверхностных активных центров, располагаются в миграционных ячейках, отделенных друг от друга геометрически и энергетически [19]. Принято [20], что катализически активные частицы попадают в миграционные ячейки в соответствии с

законом флюктуации Пуассона-Смолуховского. Общая активность А слоя катализатора выражается уравнением:

$$A = \frac{r_n}{n!} Z^0 (\rho\Theta)^n e^{-\rho\Theta} , \quad (6)$$

где  $Z^0$  – суммарное количество миграционных ячеек,  $r_n$  – удельная активность единицы ансамбля состоящего из  $n$ -атомов,  $\rho = \Delta/d$  – средний размер области миграции (ячейки), выраженный в единицах атомных площадей  $d$  (для железа  $\sim 10^{-15} \text{ см}^2$ ),  $\Delta$  – суммарная площадь ячеек миграции,  $\Theta$  – степень заполнения поверхности (ячеек миграции) катализически активными фрагментами в составе ПАЦ.

Как указывается в [21], методы теории активных ансамблей распространяются и на поверхности с кристаллическими слоями. Попадание в состав АЦ миграционной ячейки чужеродных частиц приводит к образованию смешанного ансамбля:



и потере каталитической активности. Применительно к нашему случаю максимальная каталитическая активность, с учетом:

$$i_k = i_3 + i_H ,$$

где  $i_k$  – скорость посадки  $H_{adcs}$  по реакции (2), наблюдается при  $i_H$ , равной нулю, а ее снижение описывается разностью  $i_k - i_H$ . Тогда в простейшем случае блокировки поверхности изменение активности катализатора передается уравнением:

$$\frac{i_k - i_H}{i_k} = 1 - \frac{\beta C_a}{Z^0} , \quad (7)$$

$\beta$  – коэффициент, характеризующий вероятность отравления ансамбля частицей яда при ее попадании в общую площадь миграции,  $Z^0$  – определено ранее,  $C_a$  – концентрация «яд» в объеме раствора.

Пусть  $\beta/Z^0 = \gamma$  – коэффициент отравления, который можно рассматривать как эмпирическую константу [21]. Из (7) имеем:

$$1 - \frac{i_H}{i_k} = 1 - \gamma C_a$$

и

$$i_H = \gamma C_a i_k , \quad (8)$$

# КИНЕТИКА РЕАКЦИИ ВЫДЕЛЕНИЯ ВОДОРОДА НА ЖЕЛЕЗЕ И ЕГО ДИФФУЗИЯ ЧЕРЕЗ МЕМБРАНУ ИЗ РАСТВОРОВ $C_2H_4(OH)_2 \cdot H_2O \cdot HCl$ , СОДЕРЖАЩИХ $(NH_2)_2CS$ .

Очевидно, что в этом случае зависимость  $i_H$  от  $C_J$  (при  $i_K = \text{const}$ ) выражается прямой линией и при:

1.  $C_J \rightarrow 0$ ,  $i_H \rightarrow 0$  (точнее  $i_H$  стремится к той величине  $i_H^0$ , которая реализуется при данных условиях в отсутствие «яда»).

2.  $\gamma C_J \rightarrow 1$ ;  $i_H \rightarrow i_K$ , т.е. при  $i_K = \text{const}$  теоретически можно допустить, что молизация с выделением газообразного  $H_2$  вообще не существует. Иначе говоря, по второму условию возможен случай, когда весь адсорбированный водород уходит в металл. Рассмотрим два возможных варианта.

1. Частицы яда затормаживают процесс (4) и увеличивают  $i_H$  за счет повышения степени заполнения АЦ в миграционных ячейках адсорбированным атомарным водородом, скорость молизации которого замедляется в результате адсорбции яда с образованием смешанного ансамбля (7).

2. Адсорбирующиеся частицы стимулятора наводороживания ( $CH$ ) выступают в роли катализитического яда для реакции (3) и катализатором параллельного с ней процесса (4). В рамках рассматриваемого вопроса величина  $i_3$  и характер ее связи с концентрацией  $CH$  не имеют значения.

Рассмотрим первый случай. Согласно [20], вероятность попадания частиц яда в миграционную ячейку, как и катализатора, передается уравнением (6). Причем внедрение такой частицы в пустую ячейку ведет к бесполезной затрате яда. Для оценки активности катализатора можно записать

$$A = A_0 e^{-\gamma C_a},$$

где  $A$  и  $A_0$  - активность катализатора соответственно в присутствии и в отсутствие яда. В рассматриваемом случае, когда протекают параллельные реакции (3) и (4), имеем

$$\begin{aligned} i_k - i_H &= i_k e^{-\gamma C_a}, \\ i_H &= i_k (1 - e^{-\gamma C_a}), \end{aligned}$$

или

$$i_H / i_k = 1 - e^{-\gamma C_a}.$$

Если  $\gamma = \text{const}$ , то

1.  $\gamma \rightarrow 0$ ;  $i_H / i_k \rightarrow 0$
2.  $\gamma \rightarrow \infty$ ;  $i_H / i_k \rightarrow 1$

В рамках второго варианта вновь учтем, что зависимость активности катализатора от  $C_K$  описывается уравнением (6). Примем, что  $r_n, n, Z^0, \rho - \text{const}$ , а  $\Theta = k_2 C_k$  (потенциал элек-

трова = const).  $C_K$  - концентрация катализитически активных частиц в объеме раствора,  $k_2$  - коэффициент пропорциональности. Если А выразить через  $i_H$ , то уравнение (6) принимает вид (яд для одной реакции, как отмечалось выше, может быть катализатором для другой, т.е. в рассматриваемых случаях  $C_K = C_J$ ):

$$i_H = k_1 (k_3 C_J)^{k_4} e^{-k_3 C_J},$$

$$\text{где } k_1 = \frac{r_n}{n!} Z^0; k_3 = k_2 \rho.$$

При  $n = 2$  окончательно получаем:

$$i_H = k C_J^2 e^{-k_3 C_J}.$$

В общем случае имеем:

$$i_H = k C_J^n e^{-k_3 C_J}, \quad (9)$$

где  $n$  - число частиц (атомов, фрагментов молекул), образующих поверхностный адсорбционный центр.

Используем для получения соответствующих теоретических зависимостей уравнение

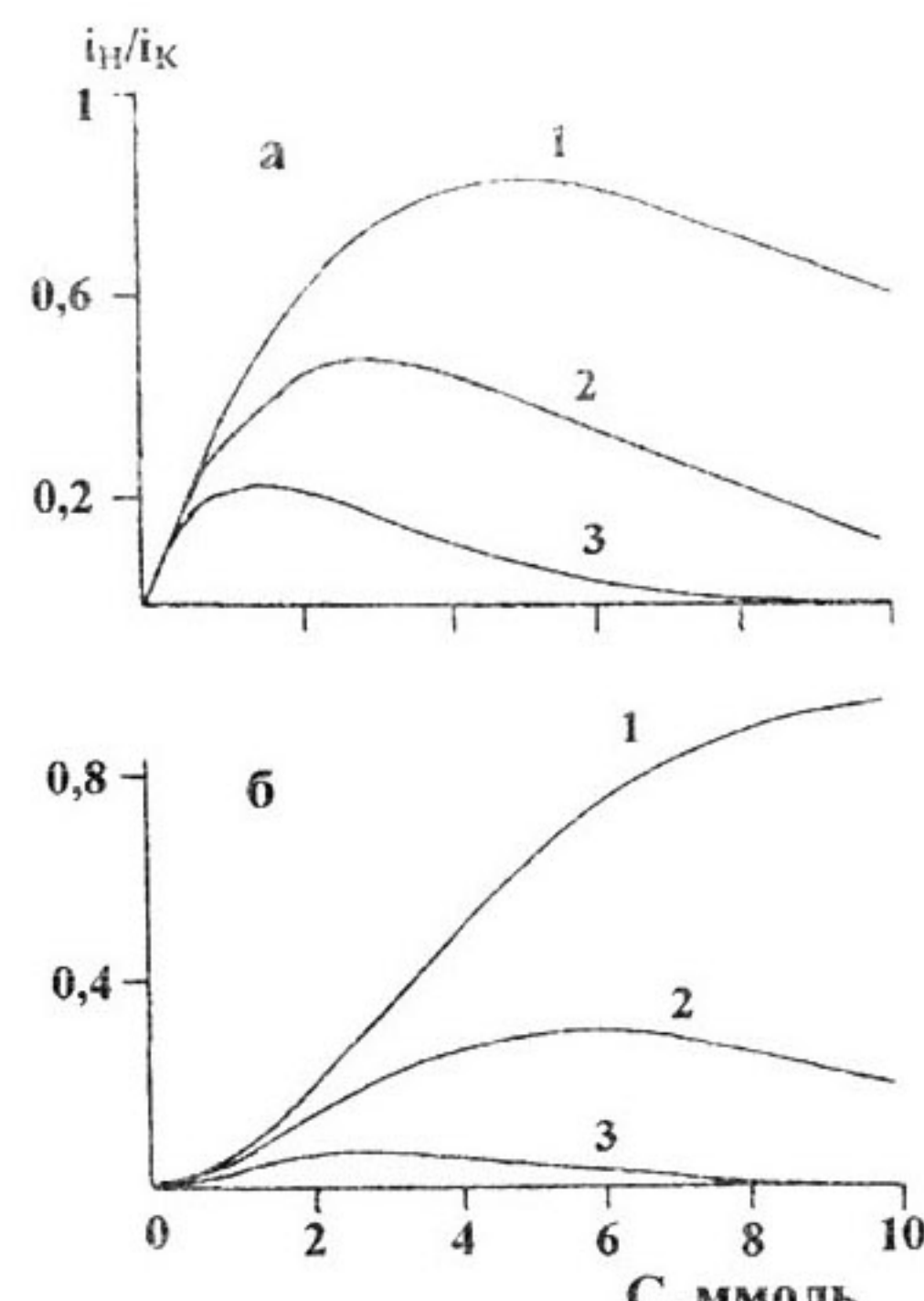


Рис. 8. Связь величины  $i_H / i_K$  с концентрацией катализитического яда (стимулятора наводороживания) для  $n$ , равных 1(а) и 2(б), рассчитанная по уравнению (10).

а.  $K_5, \text{ л}\cdot\text{ммоль}^{-1} = 4,5 \cdot 10^2$ ;  $K_3, \text{ л}\cdot\text{ммоль}^{-1}$ :  
1 - 200; 2 - 350; 3 - 700.

б.  $K_5, \text{ л}^2\cdot\text{ммоль}^{-2} = 7 \cdot 10^4$ ;  $K_3, \text{ л}\cdot\text{ммоль}^{-1}$ :  
1 - 200; 2 - 350; 3 - 700.

ние (9), переписав его в виде:

$$i_H / i_k = k_5 C_{\text{a}}^n e^{-k_3 C_a}. \quad (10)$$

Расчеты по уравнению (10) удовлетворительно передают характер наблюдаемых на практике зависимостей  $i_H = f(C_{\text{TM}})$ , показанных на рис 6 и 7. Они проводились для  $n$ , равных 1, 2 и 3, так как, согласно [20], за исключением сравнительно редких случаев из экспериментальных данных следуют подобные целочисленные величины числа частиц, образующих АЦ. Примеры результатов подобных расчетов для  $n$ , равного 1 и 2, приведены на рис. 8.

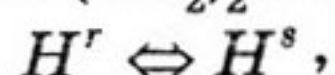
Таким образом, оба предлагаемых подхода позволяют объяснить экспериментально наблюдаемые закономерности. Вероятнее всего следует учитывать оба рассмотренных эффекта.

### ВЫВОДЫ

1. Введение 0,5 мМ тиомочевины повышает перенапряжение водорода на железе в этиленгликолевых растворах HCl с постоянной ионной силой, содержащих 2 – 10 мас.% H<sub>2</sub>O. Последующий рост концентрации (NH<sub>2</sub>)<sub>2</sub>CS не изменяет кинетику PVB.

2. Молекулы тиомочевины, адсорбируясь на железе, способствуют протеканию PVB в этиленгликолевых растворах HCl, содержащих 2 – 10 мас.% H<sub>2</sub>O, в условиях замедленного разряда.

3. Экспериментально наблюдаемый характер зависимости  $i_H = f(C_{\text{TM}})$  в этиленгликолевых и водных растворах, проходящей через максимум, может быть интерпретирован с учетом влияния (NH<sub>2</sub>)<sub>2</sub>CS на сдвиг равновесия,



либо в рамках теории активных ансамблей, при рассмотрении тиомочевины в качестве катализитического яда.

### СПИСОК ЛИТЕРАТУРЫ

1. Вигдорович В.И., Дьячкова Т.П., Алексина О.В. // Вестник Тамбовского университета им. Г.Р. Державина. Серия: естественные и химические науки. 2003. Т. 8. № 5. С. 791 – 796.
2. Филько А.И. Ингибиторы коррозии металлов. М.: Изд-во МГПИ им. В.И. Ленина. 1960. С. 63-92.
3. Балезин С.А., Соловей Д.Я. // Ученые записки МГПИ им. В.И. Ленина. 1951. Т. 63. С. 151-160.
4. Вигдорович В.И., Цыганкова Л.Е. // Журн. физич. химии. 1976. Т. 50. № 11. С. 2968-2970.
5. Цыганкова Л.Е., Вигдорович В.И. Бердников Г.Г. // Журн. физич. химии. 1998. Т. 72. № 5. С. 841-845.
6. Кардаш Н.В., Батраков В.В. // Защита металлов. 1995. Т. 31. С. 441.
7. Вигдорович В.И., Дьячкова Т.П., Цыганкова Л.Е. // Электрохимия. 2001. Т. 37. № 12. С. 1437-1445.
8. Цыганкова Л.Е., Вигдорович В.И., Данилова Т.С. // Химия и химическая технология. 1976. Т. 19. № 10. С. 1557-1561.
9. Антропов Л.И. Теоретическая электрохимия М.: Высшая школа. 1984. 519с.
10. Iyer R.N., Pickering H.W., Zamanzadeh M. // J. Electrochem. Soc. 1989. V. 136. № 9. P. 2463-2470.
11. Pickering H. W., Iyer R. N // J. Electrochem. Soc. 1990. V. 137. № 11. P. 3512.
12. Iyer R.N., Zamanzadeh M., Pickering H.W. // Corrosion. 1990. V. 46. № 6. P. 46.
13. Abd Elhamid M.H., Ateya B.G., Pickering H. W. // J. Electrochem. Soc. 1997. V. 144. № 4. P. 158.
14. Abd Elhamid M.H., Ateya B.G., Pickering H. W. // J. Electrochem. Soc. 2000. V. 147. № 6. P. 2258.
15. Abd Elhamid M.H., Ateya B.G., Pickering H. W. // J. Electrochem. Soc. 2000. V. 147. № 8. P. 2959.
16. Хориути Д., Тоя Т. Хемосорбция водорода. // Поверхностные свойства твердых тел. (Под ред. М.М. Грина). М.: Мир. 1972. С. 3-103.
17. Тоя Т., Ито Т., Иши Ш. // Электрохимия. 1978. Т. 14. № 5. С. 703-714.
18. Вигдорович М. В., Кузнецов А.М. // Проблемы химии и химической технологии. (Материалы докладов X-й межрегиональной научно-технич. конф.) Тамбов. Изд-во ТГУ. 2003. С. 14-18.
19. Сокольский Д. В., Друзь В.А. Введение в теорию гетерогенного катализа. М.: Высшая школа. 1981. 215 с.
20. Кобозев Н.И. // Современные проблемы физической химии. М.: Изд-во МГУ. 1968. Т. 3. С. 3-60.
21. Лебедев В.П. // Современные проблемы физической химии. М.: Изд-во МГУ. 1968. Т. 3. С. 61-142.